

高等学校教学用书

# 矿山电力拖动与 控制基础

北京矿业学院矿山电工教研组编



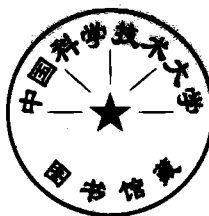
中国工业出版社

高等学校教学用书



# 矿山电力拖动与 控制基础

北京矿业学院矿山电工教研组编



中国工业出版社

本书主要内容：第一部分为电力拖动的基本原理，具体分析电力拖动在矿山生产机械中的应用，包括动力学，电动机机械特性的分析，速度調整，几种特殊电力拖动方式，过渡过程，电动机容量計算選型，起動設備計算選型等；第二部分为电力拖动控制的基本原理，包括控制电器，拟定控制線路原則及一些常用的控制線路举例。

本书可作为高等工业学校矿山机电专业“矿山电力拖动与控制基础”课程的教学用书，也可供矿山机电工程技术人员参考。

### 矿山电力拖动与控制基础

北京矿业学院矿山电工教研組編  
(根据煤炭工业出版社紙型重印)

\*

煤炭工业部书刊編輯室編輯(北京东长安街煤炭工业部大楼)

中国工业出版社出版(北京佟麟閣路丙10号)  
(北京市书刊出版事业許可証出字第110号)

中国工业出版社第三印刷厂印刷

新华书店北京发行所发行·各地新华书店經售

\*

开本787×1092<sup>1</sup>/16·印張15·字數323,000

1960年8月北京第一版

1961年6月北京新一版·1963年6月北京第三次印刷  
印数3,861—5,173·定价(10-5)1.70元

\*

统一书号：K15165·81(煤炭-9)

## 編者的話

本书于 1954 年春由北京矿业学院矿山电工教研組苏联专家斯米尔諾夫同志 指导編成初稿，經多次讲授修改。在党的建設社会主义总路綫的鼓舞下，1959年又由我教研組教師集体进一步充实修改，并由有教師和学生参加的教学小組討論定稿。

在編寫和討論中，唐山矿冶学院，山西矿业学院，焦作矿业学院，大同矿业学院，淮南矿业学院，西安矿业学院，鸡西矿业学院，北京煤炭工业学院，东北工学院，合肥工业大学，阜新煤矿学院，撫順煤矿学院，广西大学，貴州工学院，双鷺山煤矿学校，泰安煤矿学校等院校教師給予很大帮助，提出很多宝贵意見，特此志謝。

北京矿业学院矿山电工教研組

1960.2.

# 目 录

編者的話

緒論 ..... 5

第一章 电力拖动动力学基础 ..... 8

§ 1-1. 电力拖动运动基本方程式 ..... 9

§ 1-2. 静态力矩和动态力矩的折算 ..... 12

§ 1-3. 傳動的功和功率 ..... 15

§ 1-4. 帶曲柄傳动机構等效力和等效飞輪慣量的折算 ..... 16

§ 1-5. 起动和減速停車時間 ..... 18

§ 1-6. 最合理傳速比的概念 ..... 19

第二章 电动机机械特性的分析和应用 ..... 24

§ 2-1. 直流他激电动机的性質和它的机械特性分析 ..... 25

§ 2-2. 直流串激电动机的性質和它的机械特性分析 ..... 34

§ 2-3. 直流复激电动机的性質和它的机械特性分析 ..... 38

§ 2-4. 感应电动机的性質和它的机械特性分析 ..... 38

§ 2-5. 卷綫型感应电动机拖动轉子回路加电阻的起动和停止 ..... 47

§ 2-6. 卷綫型感应电动机拖动轉子回路接起动电抗器的机械特性分析 ..... 49

§ 2-7. 卷綫型感应电动机拖动轉子回路接饱和电抗器的机械特性分析 ..... 52

§ 2-8. 特种感应电动机的机械特性分析 ..... 55

§ 2-9. 同步电动机的机械特性分析 ..... 57

第三章 电力拖动的速度調整 ..... 58

§ 3-1. 直流他激电动机的調速性能 ..... 60

§ 3-2. 直流串激电动机的調速性能 ..... 62

§ 3-3. 交流感应电动机的調速性能 ..... 65

§ 3-4. 發电机-电动机組的調速性能 ..... 67

§ 3-5. 离子拖动系統的調速性能 ..... 75

第四章 几种特殊拖动方式和其調速性能 ..... 83

§ 4-1. 双电动机拖动的概念 ..... 84

§ 4-2. 双感应电动机拖动的調速性能 ..... 84

§ 4-3. 双感应电动机拖动系統的負載分配 ..... 86

§ 4-4. 双感应电动机拖动系統的几种不同接綫方式 ..... 87

§ 4-5. 双直流他激电动机的拖动系統 ..... 90

§ 4-6. 帶有滑差連軸器的电力拖动 ..... 93

§ 4-7. 电磁連軸器 ..... 94

§ 4-8. 电磁連軸器的構造特点 ..... 97

§ 4-9. 电磁連軸器的控制 ..... 98

§ 4-10. 电气同步拖动系統 .....	100
<b>第五章 电力拖动的負載曲綫及过渡过程 .....</b>	<b>107</b>
§ 5-1. 研究电力拖动的負載曲綫及过渡过程的意义 .....	107
§ 5-2. 过渡过程的分类 .....	108
§ 5-3. 静态力矩恒定、机械特性曲綫为直綫的电力拖动的机械过渡过程 .....	109
§ 5-4. 静态力矩恒定、机械特性曲綫为直綫的电力拖动的起动过程 .....	112
§ 5-5. 静态力矩恒定、机械特性曲綫为直綫的电力拖动的制动过程 .....	116
§ 5-6. 三相感应电动机拖动考虑机械特性为曲綫时的机械过渡过程 .....	123
§ 5-7. 具有附加飞輪的电力拖动带动冲击負載的运行情况 .....	127
§ 5-8. 用相对單位分析机械特性曲綫为直綫的电力拖动的过渡过程 .....	129
§ 5-9. 机械过渡过程的近似計算法 .....	131
§ 5-10. 静态力矩恒定、机械特性曲綫为直綫的机电过渡过程 .....	135
§ 5-11. 發电机-电动机組的机电过渡过程 .....	139
<b>第六章 电动机容量的計算及选型 .....</b>	<b>149</b>
§ 6-1. 电动机容量选择的一般概念 .....	149
§ 6-2. 电动机的發热和冷却 .....	151
§ 6-3. 工作状态的分类 .....	155
§ 6-4. 負載長期不变或極少变动时电动机容量的选择 .....	156
§ 6-5. 連續变动負載时电动机容量的选择 .....	157
§ 6-6. 短时工作状态下电动机容量的选择 .....	161
§ 6-7. 重复短时工作状态下电动机容量的选择 .....	163
§ 6-8. 电动机的結構类型 .....	165
§ 6-9. 容量选择的实例 .....	167
<b>第七章 起动設備的計算和选型 .....</b>	<b>169</b>
§ 7-1. 直流串激电动机起动设备的計算 .....	169
§ 7-2. 發电机-电动机組起动激磁电阻計算 .....	172
§ 7-3. 交流鼠籠型感应电动机和同步电动机起动设备的計算和选择 .....	174
§ 7-4. 卷綫型感应电动机起动变阻器計算 .....	179
§ 7-5. 卷綫型感应电动机起动变阻器采用不对称(不平衡)系統的計算 .....	184
§ 7-6. 金屬变阻器的結構及选型 .....	189
§ 7-7. 卷綫型感应电动机轉子回路采用液体电阻的分析 .....	193
<b>第八章 电力拖动的控制电器 .....</b>	<b>194</b>
§ 8-1. 引言 .....	194
§ 8-2. 控制裝置 .....	195
<b>第九章 电力拖动自动控制原理 .....</b>	<b>207</b>
§ 9-1. 电力拖动自动控制系统圖的繪制原則和控制元件代表符号 .....	207
§ 9-2. 电力拖动控制自动化的基本原理 .....	210
§ 9-3. 起动控制原則的分析 .....	210
§ 9-4. 制动控制原則的分析 .....	214
§ 9-5. 負載和电網电压对过渡过程的影响 .....	217

§ 9-6. 控制系統之基本要求及不同控制方法之比較	219
第十章 电力拖动的控制线路示例	221
§ 10-1. 鼠籠型感应电动机的控制线路	221
§ 10-2. 卷线型感应电动机的控制线路	222
§ 10-3. 同步电动机的控制线路	224
§ 10-4. 直流他激电动机的控制线路	227
§ 10-5. 直流串激电动机的控制线路	231
§ 10-6. 发电机-电动机组的控制线路	233
結束語	234
主要参考書	236

## 緒論

电力拖动与控制这門学科是研究用电动机来带动生产机械运转的各种問題。总的可分为电力拖动原理及控制兩部分。前者是在已知生产机械的机械特性和电动机特性的基础上研究有关生产机械运转的性能，即生产机械的运动規律，加速、减速过程，轉速随負載变化的規律等問題；而后者是研究为达到生产机械某种运转性能的要求，控制線路及控制設備的設計選擇問題。

电力机械（發电机及电动机）的出現，尤其是 1897 年俄国学者多利沃·多勃罗沃尔斯基所創造的感应电动机，在技术史上是繼蒸汽机之后的一个極其偉大的成就，它标志着一个新的更高的生产力的出現，使整个工業面貌大为改觀。列宁給共产主义所下的簡明而深刻的定义——共产主义等于苏維埃政权加电气化，充分說明了电气化在提高劳动生产率和加强国民經濟实力上的重要意义。所謂电气化，主要是用电力来代替蒸汽及其他动力。电力比其他动力优越处就在于它的傳遞、控制方便，損耗少，效率高，在改善劳动条件及安装维护上更是其他动力所不能比拟的。这也就說明了为什么在电力机械出現后短短的几十年中电气化得到如此巨大的發展。

电气化在实践中基本上包括兩大部分，即电力的傳遞和电能与机械能的轉換。电力拖动与控制是屬於第二部分的基础理論之一。1920 年以前本学科沒有單独設立，而是附設于电机学中。由于工业企業电气化的迅速發展，在实践中电力拖动控制方面的成果已無法概括在电机学中，因而开始形成了一个独立的学科。1925—1933年苏联学者林开維奇教授所著的“机械能的电力分配”及波波夫教授所著的“电动机在工业上的应用”兩本名著奠定了电力拖动与控制作为一門独立学科的理論基础。近十几年来由于电气化和自动化的巨大發展，使得这門学科的內容大为丰富，同时它所研究的領域也相应地有些改变。

在电力拖动发展的初期，工作机組包含着三个組成部分：原动机（在电力拖动中即为电动机），机械傳动裝置和生产机械。而現代的电力拖动与控制学科已經不包括机械傳动裝置这部分內容了。主要的原因是机械傳动裝置在拖动系統中不是一个必須的环节，目前的趋势是尽量除去这部分，而使电动机与生产机械靠近，甚至结合成一整体。新近的趋向是研究及采用液压傳动及电磁聯軸器等新型傳动裝置。

在早期，电力拖动研究的內容多偏重于用电的經濟性問題。因此改善用电指数是該学科的一个主要内容。而在現代电力拖动与控制中研究的內容多偏重于电力拖动的控制性能，即加速过渡过程調速的性能，以及与之有关的拖动系統动态稳定問題。

在早期电力拖动学科中，对拖动系統的自動調整問題也进行了某些探討。近代，由于伺服系統的出現和发展，尤其是其中閉环調整系統的發展，使得电力拖动及控制的內容大大丰富了。同时由于伺服系統的發展，关于調整系統的动态稳定就成为一項急迫需

要解决的問題。用古典的解决电力拖动系統的过渡过程的办法已經不能滿足要求。因此就产生了一門新的科学——自动調整原理，进而发展为工程控制論。由于这一学科的迅速发展，給电力拖动与控制的飞跃发展打下巩固的理論基础。如果说过去由于工业企业电气化的发展促进了电力拖动与控制学科的建立和发展，那么現在日益增长的工业企业自动化的要求就引起了电力拖动与控制学科的巨大发展，它反轉过来又大大地促进了工业企业向自动化发展。

电力拖动与控制科学的发展不是孤立进行的，它与其他科学技术的发展密切相关。譬如脉冲技术，計算技术，柵控水銀整流器，半导体，高磁性材料，放射性同位素的新成就，以及电机电器和机械制造等方面的新成就都促进电力拖动与控制的发展。

电力拖动与控制在国民經濟的发展中占有极其重要的地位。它不但促进工业企业、农业以及运输业的电气化、自动化，提高劳动生产率，同时在制造高精度、高质量的产品上也起着决定性的作用，而后者在发展国家的科学和以更新的技术装备国民經濟各部門，促进整个国民經濟和文化更进一步的发展上起着巨大的作用。

电力拖动与控制在现代化矿山企业中也起着很重要的作用。譬如矿井提升机，露天挖掘机，露天电机車，大型皮带运输机等矿山机械的电力拖动与控制都是极重要的科学技术課題，这些矿山机械的电力拖动与控制的改善，不仅使机械的生产率提高，工作可靠性增加，电能的损耗减少，同时也可使生产机械的机械結構及其傳动系統簡化，因而生产机械的重量也可相应地減輕。

我国解放前在反动派的統治下，工业极其落后，沒有自己独立的工业系統。解放后在党和毛主席的英明領導下，大搞羣众运动，并且在苏联和各兄弟国家的帮助下，我国逐漸建立了现代化的大企业，基本上已能以自己生产的机器装备国民經濟各部門，大大地改变了我国的經濟面貌。尤其是在1958年党提出了鼓足干勁、力爭上游、多快好省地建設社会主义总路綫后，全国人民开展了历史上空前的社会主义建設高潮，發揮了破除迷信，敢想敢說敢干的共产主义风格，創造了无数奇迹。在世界先进科学技术的研究和应用方面也获得了偉大的成就。其中也包括电力拖动与控制这門科学。

現在我国已經能自己生产很多种大型設備，很多設備的控制装置和系統都达到了先进水平。譬如已經成功地試制了容量为2800瓩和4600瓩的大型初軋机的全套电气設備，并設計和安装了具有先进水平的控制系统。目前已大量生产 $500 \times 6$ 的帶泵水冷鐵壳的水銀整流器，成功地試制了750伏，6000安直流快速开关，并在試制1500伏，6000 安的快速开关，此外还生产11瓩以下的交磁放大机，系列化的磁放大器，感应开关等自动化控制元件，这些都是我国拖动与控制技术巨大发展的証明。

1960年在党的号召下，轰轰烈烈地掀起了大搞技术革新的群众运动，积极实现机械化、半机械化，进一步改变我国工业的技术面貌，提高劳动生产率，为高速度的发展国民经济创造技术条件。在这个技术革新的高潮中，电力拖动及控制将担任着重要的任务。可以预料，在不久的将来，我国在生产技术装备上将赶上世界最先进水平。

# 第一章 电力拖动动力学基础

## § 1-1. 电力拖动运动基本方程式

任何一种生产机械，其电力拖动系统的运动，均包括两种方式（或称过程）：稳定的运动方式及不稳定的运动方式（或称过渡过程）。这些过程的产生，决定于电气化机组的原动力矩及阻力矩的变化规律。表明过程变化规律的方程式称为运动方程式。

某些电气化机组，在连续的生产过程中，常常频繁地进行起动与制动。因此，起动和制动过渡过程的长短将直接影响生产机械的生产率，所以研究拖动系统过渡过程有重要的实际意义。要研究拖动系统的过渡过程，可以求解运动方程式。其方程式的解答可以确定拖动系统中所需运动力、力距或电流值变化的规律（即对时间的函数），根据这些函数关系可以正确选择电动机的容量及检验电动机的发热。

在电力拖动系统中，电动机将取自电网的电能变为机械能，带动生产机械。由理论力学得知，当机组处于稳定运转时（速度不变），电动机产生的轴力矩  $M$ （原动力矩或称转动力矩）仅需克服静态力矩  $M_c$ （即与机械运动部分摩擦有关的阻力矩，以及与生产机械所完成有用功有关的静态力矩，如矿井提升重物）。而当机组处于过渡过程时，则电动机除需克服上述力矩外，尚需克服由机组运动部分的惯量因速度变化而引起的动态力矩  $M_j$ 。由此可写出运动方程式：

$$M = M_c + M_j; \text{ 或 } M - M_c = M_j. \quad (1-1)$$

式中  $M$ ——电动机产生的原动力矩（公斤·米）；

$M_c$ ——静态力矩（公斤·米）；

$M_j$ ——动态力矩（公斤·米）。

现在我们分析一下动态力矩：

由于拖动系统具有机械惯性，因此当拖动系统工作时，各个运动部分储积有一定数量的动能。当稳定运转时，各运动部分储积的动能是恒定的。当拖动系统加速、减速或其他不稳定运转情况下，系统的动能储积量将发生变化，例如：加速时，动能的储积量将增加，而此部分能量将由拖动的电动机供给；减速时，拖动系统的运动部分将放出能量。由理论力学得知，以角速度  $\omega$  转动的系统，其动能储积量等于：

$$A_j = J \frac{\omega^2}{2}. \quad (1-2)$$

式中  $J$ ——系统的转动惯量。

当拖动系统的动能储积量变化时，产生动态功率，动态功率等于动能对时间的导数。

$$P_j = \frac{dA_j}{dt}. \quad (1-3)$$

已知动态功率，即可求得以角速度  $\omega$  旋转的拖动系统的动态力矩值：

$$M_j = \frac{P_j}{\omega}. \quad (1-4)$$

拖动系统的转动惯量，对某些生产机械来说是一个变量，并且是旋转角度  $\alpha$  的函数  $J=f(\alpha)$ 。在矿山方面属于这类的生产机械包括活塞式压气机，驱动运输机和带有圆锥形滚筒的提升机。因此在一般情况下，动态功率的计算式如下：

$$\begin{aligned} P_j &= \frac{dA_j}{dt} = \frac{d}{dt} \left( J \frac{\omega^2}{2} \right) \\ &= J\omega \frac{d\omega}{dt} + \frac{\omega^2}{2} \frac{dJ}{d\alpha} \frac{d\alpha}{dt} \\ &= J\omega \frac{d\omega}{dt} + \frac{\omega^3}{2} \frac{dJ}{d\alpha}. \end{aligned} \quad (1-5)$$

根据式(1-4)求得动态力矩：

$$M_j = \frac{P_j}{\omega} = J \frac{d\omega}{dt} + \frac{\omega^2}{2} \frac{dJ}{d\alpha}. \quad (1-6)$$

将式(1-6)代入(1-1)式则可得到一般形式的运动方程式：

$$M - M_c = J \frac{d\omega}{dt} + \frac{\omega^2}{2} \frac{dJ}{d\alpha}. \quad (1-7)$$

式中  $J=m\rho^2$ ——转动惯量 (公斤·米·秒<sup>2</sup>)；

$\frac{d\omega}{dt}$ ——角加速度 (秒<sup>-2</sup>)；

$\omega$ ——角速度 (秒<sup>-1</sup>)；

$\rho$ ——迴轉半徑 (米)。

在实际工作中，大多数生产机械的转动惯量是常量，因此上述运动方程式可简化为电力拖动中一般采用的形式：

$$M - M_c = J \frac{d\omega}{dt} \quad (1-8)$$

下面我们对运动方程式加以分析：

根据运动方程式可以确定拖动系统的运动状态。在运动方程式中，根据  $M$  和  $M_c$  的相互关系，运动可能是加速的、减速的或等速的。

1)  $M - M_c > 0$ ;  $M_j > 0$ ;  $\frac{d\omega}{dt} > 0$ ——加速运动;

2)  $M - M_c < 0$ ;  $M_j < 0$ ;  $\frac{d\omega}{dt} < 0$ ——减速运动;

3)  $M - M_c = 0$ ;  $M_j = 0$ ;  $\frac{d\omega}{dt} = 0$ ——等速运动。

当起动时  $\omega_{\text{初}}=0$ , 虽然  $M=M_c$ , 机组仍然静止而不可能转动。因为在起动时, 电动机产生的起动力矩必须大于静态力矩, 即  $M_n > M_c$  方能起动。

### 运动方程式

$$(\pm M) - (\pm M_c) = J \frac{d\omega}{dt}. \quad (1-9)$$

其中各个量的符号及数值确定如下:

力矩符号(正或负)的确定是以拖动系统的运动方向为依据, 即首先将生产机械可能有的两个运动方向, 根据具体情况选定其一为正方向。

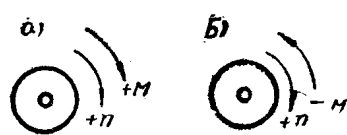


圖 1-1 电动机产生的拖动(正)和制动(负)力矩

当电动机产生的原动力矩的方向与生产机械运动的正方向一致, 即当电动机产生的力矩  $M$  协助生产机械转动时, 力矩  $M$  取正号, 称为拖动力矩, 如圖 1-1, a 所示。当  $M$  的方向与运动的正方向相反时, 为负力矩, 取负号。负力矩阻碍运动, 称为制动力矩, 如圖 1-1, b 所示。

静态力矩  $M_c$  的方向与选定的运动正方向相反而时, 取正号, 即当静态力矩阻止运动时算作正力矩。静态力矩协助运动时则取负号。

所有的静态力矩, 根据其性质可以分为两类, 即阻力矩和位力矩。

阻力矩永为正值, 即永远阻碍运动。当运动方向改变时, 阻力矩亦随之改变其作用方向, 即永远起制动作用, 阻力矩与运动方向的关系表明在圖 1-2 中。由圖可見当速度

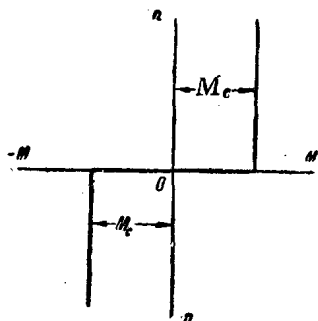


圖 1-2 阻力矩与运动方向的关系

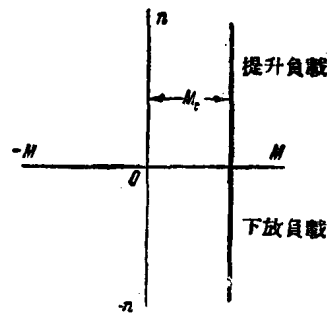


圖 1-3 位力矩与运动方向的关系

改变方向时, 阻力矩的作用方向發生突变。这类力矩包括摩擦力矩、切割和破碎造成的力矩(如截煤机, 联合采煤机及破碎机等的负载力矩)。

位力矩与运动方向无关。当运动方向改变时, 位力矩仍保持其原先的作用方向, 如圖 1-3 所示, 即当向某一个方向运动时, 位力矩阻碍运动(取正号); 而向相反方向运动时, 位力矩将协助运动(取负号)。

动态力矩  $M_d$  的方向决定于原动力矩和静态力矩的相对大小, 即由两者的代数和确定。

动态力矩确定如下: 在电力拖动应用中, 計算动态力矩时, 一般不采用轉动慣量

$J$ , 而采用飞輪慣量  $GD^2$ , 上述兩者的关系以下列等式表示:

$$J = \frac{GD^2}{4g}. \quad (1-10)$$

式中  $G$ ——轉动物体重量 (公斤);

$D = 2\rho$ ——迴轉直徑 (米);

$g$ ——重力加速度 (米·秒<sup>-2</sup>);

$GD^2$ ——飞輪慣量 (公斤·米<sup>2</sup>)。

$GD^2$  的数值对于电动机的轉子、齒輪傳動裝置及提升机的滾筒等, 通常均載于样本中, 亦可用計算或實驗的方法求出①。

將轉動慣量数值代入动态力矩公式:

$$M_j = J \frac{d\omega}{dt} = \frac{GD^2}{4g} \frac{d}{dt} \left( \frac{2\pi n}{60} \right) = \frac{GD^2}{375} \frac{dn}{dt}. \quad (1-11)$$

式中  $\frac{dn}{dt}$ ——电动机每秒鐘的轉速变化;

$n$ ——电动机的轉速 (轉·分<sup>-1</sup>)。

將动态力矩表示式(1-11)代入(1-1)式并考慮到力矩可能的作用方向, 則得到拖动中通常应用的运动方程式:

$$(\pm M) - (\pm M_c) = \frac{GD^2}{375} \frac{dn}{dt}. \quad (1-12)$$

以上分析的是旋轉运动系統的运动方程式或称力矩方程式。同样可对直线运动系統列出运动方程式:

$$F - F_c = F_j. \quad (1-13)$$

式中  $F$ ——原动力 (公斤);

$F_c$ ——靜态力 (公斤);

$F_j$ ——动态力 (公斤)。

直线运动物体的动能貯积量为:

$$A_j = m \frac{v^2}{2}. \quad (1-14)$$

式中:  $m$ ——物体質量 (公斤·米<sup>-1</sup>·秒<sup>2</sup>);

$v$ ——線速度 (米·秒<sup>-1</sup>)。

动态功率:

$$P_j = \frac{dA_j}{dt} = mv \frac{dv}{dt} + \frac{v^2}{2} \frac{dm}{ds} \frac{ds}{dt} = mv \frac{dv}{dt} + \frac{v^3}{2} \frac{dm}{ds}. \quad (1-15)$$

式中  $\frac{dv}{dt}$ ——加速度 (米·秒<sup>-2</sup>)。

动态力:

① 參看苏联 B. П. 安德列耶夫等著, “电力驅动基础”上冊, 中譯本 129—132 頁。

$$F_j = \frac{P_j}{v} = m \frac{dv}{dt} + \frac{v^2}{2} \frac{dm}{ds}. \quad (1-16)$$

将动态力代入(1-13)式得到一般形式的运动方程式：

$$F - F_c = m \frac{dv}{dt} + \frac{v^2}{2} \frac{dm}{ds}. \quad (1-17)$$

当运动物体的质量为常量时，上式简化为一般采用的形式：

$$(\pm F) - (\pm F_c) = m \frac{dv}{dt}. \quad (1-18)$$

上述对于转动运动方程式的一些分析，原则上对于直线运动物体是同样适用的。

## S 1-2. 静态力矩和动态力矩的折算

在电力拖动系统中，常常包括有以不同速度移动和转动的元件，在分析系统的运动状态时，通常需要对以不同速度运动的元件分别列出运动方程式，然后联立求解。这样的解题方法在计算上比较复杂。所以为了简化分析时的数学运算，常常把一个真实的拖动系统以一个简化的等值系统来代替。等值系统中，各个元件将具有相同的速度，这就需要对真实系统中以不同速度运动的元件进行折算。折算后各个元件的速度均将相等，通常是等于电动机的速度，即把各个元件折算到电动机轴上去。折算后的等值系统，其力学特性应与真实的拖动系统相同。

由一轴将静态力矩折算至另一轴须保持两轴功率相等，并考虑中间传动部分的损失。

图 1-4 表示一级齿轮传动系统。

机组转动部分静态力矩折算至电动机轴上时按下列公式计算：

$$M'_c = \frac{M_c \omega}{\omega_n \eta} = \frac{M_c}{j \eta}. \quad (1-19)$$

式中  $M'_c$ ——机组转动部分静态力矩折算至电动机轴上的力矩；

$M_c$ ——转动部分的静态力矩；

$\omega$ ——转动部分的角速度；

$\omega_n$ ——电动机的角速度；

$\eta$ ——电动机与转动部分间传动装置的效率；

$j = \frac{\omega_n}{\omega}$ ——电动机与转动部分间的传递比（角速度比）。

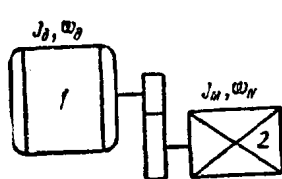


图 1-4 一级齿轮传动系统  
1—电动机；2—生产机械。

机组移动部分静态力矩折算至电动机轴上时按下列公式计算：

$$M'_c = \frac{F_c v}{\omega_n \eta}. \quad (1-20)$$

式中  $F_c$ ——移动部分的静态力；

$v$ ——移动部分的线速度。

如果电动机以发电机方式运转并向电网供电时，能量从生产机械传至电动机，例如提升机下放重物时，根据以下公式求折算至电动机轴上的转动部分和移动部分的静态力

矩：

$$M'_c = \frac{M_c \eta}{j}. \quad (1-21)$$

$$M''_c = \frac{F_c v \eta}{\omega_A}. \quad (1-22)$$

根据上述的折算原则，可以将拖动系统各部分的静态力矩或静态力导至任意选定的转轴。

当拖动系统中同时包括转动及移动部分时，简化等值系统折算后总的静态力矩值为：

$$M_{cnp} = \Sigma M'_c + \Sigma M''_c. \quad (1-23)$$

式中  $\Sigma M'_c$ ——拖动系统中各个转动部分折算后静态力矩之和；

$\Sigma M''_c$ ——拖动系统中各个移动部分折算后静态力矩之和；

在根据上列公式进行计算时，确定传动装置的效率是比较困难的，因为影响传动效率的因素很多：例如传动形式、负载的大小、润滑情况、生产机械的速度等，通常是根据效率曲线确定其数值，图 1-5 给出了标准齿轮传动的效率曲线，图中  $K_z$  称为负载系数：

$$K_z = \frac{M}{M_H}. \quad (1-24)$$

式中  $M$ ——实际传动力矩；

$M_H$ ——传动装置的额定力矩。

图中各条曲线，分别对应于不同额定效率  $\eta_H$  的齿轮传动装置。

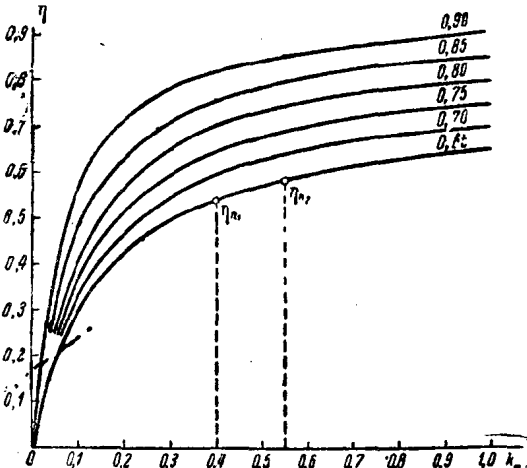


图 1-5 一级齿轮传动的效率曲线

用一个等值系统代替一个真实的拖动系统时，为了保持折算前后系统的动力学特性相同，动态力矩同样需要进行折算，折算前后系统中的动能贮积量应保持相等。

折算后的动态力矩按下列公式计算：

$$M_{jnp}' = J'_{np} \frac{d\omega_A}{dt} = \frac{(GD^2)_{np}}{375} \frac{dn_A}{dt}. \quad (1-25)$$

式中  $J'_{np}$  及  $(GD^2)'_{np}$ ——折算后的转动惯量及飞轮惯量值。

机组转动部分转动惯量的折算，根据折算前后贮能相等得到（传动系统见图1-4）：

$$J'_{np} \frac{\omega^2}{2} = J \frac{\omega^2}{2}.$$

由此求得：

$$J'_{np} = J \frac{\omega^2}{\omega_A^2} = \frac{J}{j^2}. \quad (1-26)$$

同样可求得飞轮惯量的折算公式如下：

$$(GD^2)'_{np} = \frac{(GD^2)}{j^2}. \quad (1-27)$$

机组移动部分的质量折算为转动惯量，同样根据系统贮能不变的原理计算：

$$J''_{np} \frac{\omega_n^2}{2} = m \frac{v^2}{2}.$$

由此求得

$$J''_{np} = m \frac{v^2}{\omega_n^2}. \quad (1-28)$$

根据(1-9)可求得折算后的飞轮惯量值：

$$(GD^2)''_{np} = 4gJ_{np} = 4gm \frac{v^2}{\omega_n^2} = 4g \frac{Q}{g} \frac{v^2}{\omega_n^2} = \frac{4Qv^2}{\omega_n^2}.$$

或

$$(GD^2)''_{np} = \frac{4Qv^2}{\left(\frac{2\pi n_n}{60}\right)^2} = \frac{364Qv^2}{n_n^2}. \quad (1-29)$$

式中  $Q$ ——移动部分的重量(公斤)。

当拖动系统中同时包括转动及移动部分时，简化等值系统折算后总飞轮惯量值为：

$$(GD^2)_{np} = (GD^2)'_{np} + (GD^2)''_{np}. \quad (1-30)$$

将上式  $(GD^2)_{np}$  代入(1-25)式，则得到总动态力矩。

在计算动态力矩时，准确地考虑传动损失是比较困难的，因为生产机组在过渡过程中，通过传动装置传递的力矩包括静态力矩和动态力矩，所以利用效率曲线时，须同时知道二者的和。此时在运动方程式中效率  $\eta$  和拖动系统的加速度  $\frac{dn}{dt}$  (它决定动态力矩值)又是两个互相关联的未知量。

若根据生产机械所要求的静态力矩  $M_{mc}$  及动态力矩  $M_{mj}$  之和  $M_{mc} + M_{mj}$  从效率曲线上查得效率而计算所需电动机产生的原动力矩  $M = \frac{1}{\eta}(M_{mc} + M_{mj})$ ，则由于效率曲线为在恒定转速下求得的，因此在过渡过程中查该效率曲线是有误差的。同时，当已知电动机原动力矩  $M$  及生产机械的静态力矩  $M_{mc}$  反求  $M_{mj} = \eta M - M_{mc}$  时，则因为效率  $\eta$  与  $M_{mc} + M_{mj}$  有关，所以想准确地求出  $M_{mj}$  来就需要用逐步试探法，这是相当麻烦的，而且也会产生误差，所以在实际运用中意义不大。由于上述原因，在实际计算中我们仅在静态力矩折算时考虑传动损失，而动态力矩的折算则不考虑传动效率。这种计算方法虽会产生一些误差，但是亦可使误差得到某些补偿。从下式：

$$M_1 = \frac{M_{mc}}{\eta_1} + M_{mj} \text{——此式仅于静态力矩折算中考虑传动效率；}$$

$$M_2 = \frac{M_{mc} + M_{mj}}{\eta_2} \text{——此式为静、动态力矩折算中都考虑了传动效率。}$$

可以看出：仅根据  $M_{mc}$  查得的效率  $\eta_1$  值比按传动全力矩  $M_{mc} + M_{mj}$  查得的效率  $\eta_2$  值低，使  $M_1$  和  $M_2$  值较为近似。因此可以认为仅在静态力矩考虑效率的计算中已适当地照顾到了传递动态力矩时传动损失的影响。这种方法虽仍会有些误差，但尚可应用，这